

# MathRAG-Gate: 资源受限环境下基于置信度门控的鲁棒数学推理 RAG 框架

MathRAG-Gate: A Confidence-Gated RAG Framework for Robust Mathematical Reasoning under Resource Constraints

## 摘要 (Abstract)

检索增强生成(RAG)虽然有效缓解了模型幻觉，但在数学推理等对逻辑严谨性要求极高的任务中，传统基于语义相似度的检索范式往往引入“高语义相关但低逻辑质量”的噪音文档(即\*\*“相关性-质量鸿沟”）。针对这一挑战，本文提出了 **MathRAG-Gate** 框架。该框架包含两大核心贡献：(1) 置信度门控机制 (**Confidence Gate**)：我们引入了一种自适应的重排序策略选择机制。研究发现，在 MATH 数据集中，文档的结构规范性与逻辑正确性呈现显著的正交解耦现象 (Structure-Logic Orthogonality,  $\rho < 0.1$ )。Gate 机制成功利用这一特性作为任务复杂度的探测器，在复杂场景下自动触发高鲁棒性的 LLM 判官模式<sup>1111</sup>；(2) 分阶段批处理架构 (**Staged Batching**)：针对消费级硬件的显存瓶颈，我们设计了一种时空多路复用 (Time-Space Multiplexing) 的执行流水线。通过将检索/评分与生成阶段解耦，该架构将模型切换开销从线性级  $\mathcal{O}(N)$  降低为常数级  $\mathcal{O}(1)$ ，在 12GB 显存下实现了零溢出 (OOM-free) 的高效推理。实验表明，MathRAG-Gate 有效滤除了混合检索 (Hybrid RRF) 引入的融合噪音，将准确率从 81.00% 恢复并提升至 **86.80%**<sup>3333</sup>。本研究证实，在资源受限的复杂推理任务中，“逻辑质量”\*\*的优先级应显著高于“语义相关性”。

## 1. 引言 (Introduction)

### 1.1 研究背景：从通用问答到领域推理

随着大型语言模型(LLMs)的发展，检索增强生成(RAG)范式已成为解决模型知识时效性滞后和事实性幻觉的标准解决方案。然而，RAG 的应用场景正从简单的“开放域问答(Open-domain QA)”向更复杂的“特定领域推理(Domain-specific Reasoning)”转移。在数学、代码生成或法律分析等领域，用户不仅需要事实片段，更需要完整的推理逻辑模板。

### 1.2 核心问题：逻辑质量困境与系统瓶颈

在将 RAG 应用于数学领域(如 MATH 数据集)时，我们面临两大核心挑战：

1. “相关性与质量”的鸿沟 (The Relevance-Quality Gap)：

传统的检索器(Dense/BM25)优化的是文本的语义或关键词相似度。然而，数学推理的正确性依赖于严密的逻辑步骤。一篇包含正确答案数字但缺乏推导过程的文档，其向量相似度可能很高，但对 LLM 的思维链(CoT)推理毫无帮助，甚至构成干扰。

- 融合噪音 (Fusion Noise)：我们的基线实验显示，简单地将密集检索与稀疏检索融合(

Hybrid RRF), 其性能(81.0%)反而低于单体基线(86.0%)。这证明了盲目追求高召回率会引入破坏性噪音。

## 2. 受限资源的工程瓶颈 (The Engineering Bottleneck):

为了在检索端引入质量评估, 系统通常需要同时运行一个生成器模型(如 Qwen-7B)和一个判官模型(如 Qwen-0.5B)。在主流消费级显卡(如 RTX 4070 Ti, 12GB VRAM)上, 并发运行双模型会导致严重的显存争抢(VRAM Thrashing), 使得推理延迟飙升至不可接受的水平(>13s/sample)。

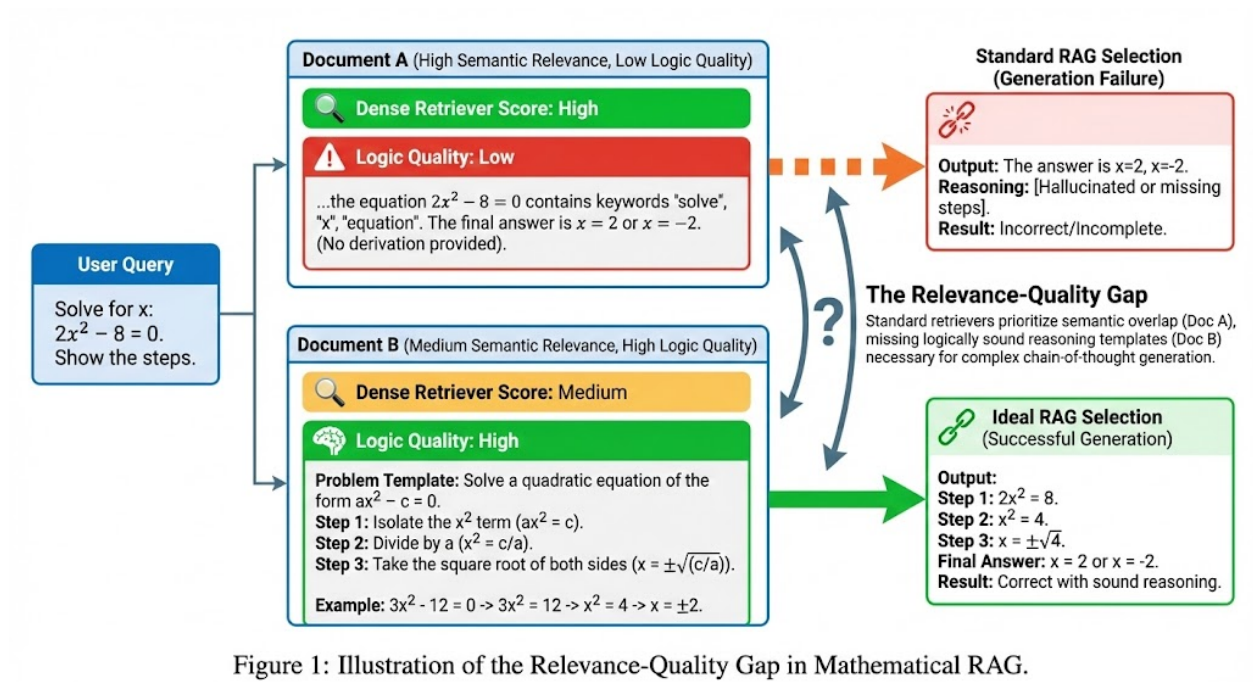


Figure 1: Illustration of the Relevance-Quality Gap in Mathematical RAG.

## 1.3 本文贡献 (Contributions)

针对上述问题, 本项目提出了 MathRAG-Gate 架构, 主要贡献如下:

- 置信度门控架构 (Confidence-Gated Architecture): 设计了一种自我监控机制, 通过计算规则评分与 LLM 评分的相关性 ( $\rho$ ) 来量化任务复杂度, 并据此动态选择重排序策略, 充当系统的“质量安全阀”。
- 分阶段批处理工程 (Staged Batching Engineering): 提出了一种将检索/评分阶段与生成阶段完全解耦的流水线设计, 成功将模型切换开销从  $N$  次降低为 1 次, 在零显存溢出的前提下实现了高效推理(~4.5s/sample)。
- 实证验证 (Empirical Validation): 通过广泛的消融实验与超参数网格搜索, 证明了 Quality-Aware Reranking 能够有效滤除融合噪音, 实现性能的恢复与提升。

## 2. 相关工作 (Related Work)

### 2.1 基础与混合检索技术

- 检索范式: 当前主流检索分为 稀疏检索(如 BM25, 擅长精确匹配)和 密集检索(如基于 BERT 的 Embedding, 擅长语义匹配)。

- **混合检索 (Hybrid Retrieval)**: 通常采用 RRF (Reciprocal Rank Fusion) 算法将两者结合。然而, 现有研究多关注于提升 Recall@K, 而忽视了在 Top-K 候选集中, 低质量文档对生成器的负面影响。

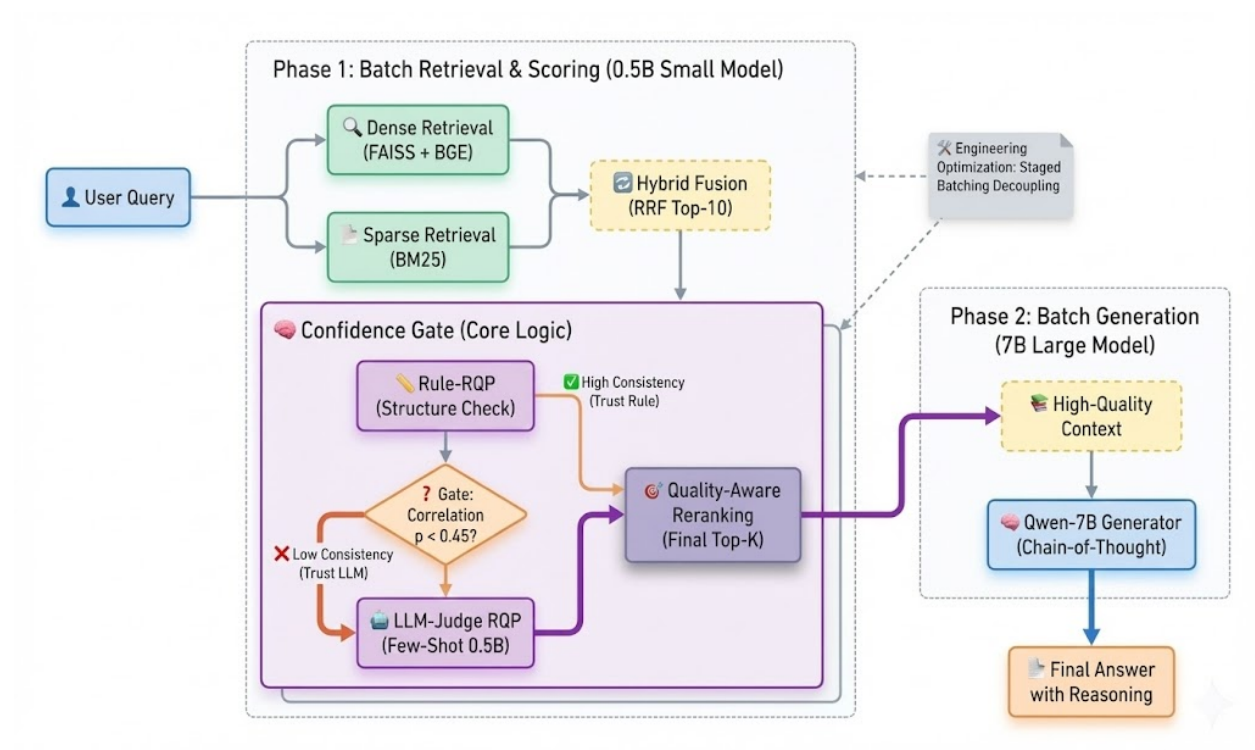
## 2.2 RAG 质量评估: LLM-as-a-Judge

为了优化检索结果, **Reranking** (重排序) 技术被广泛采用。传统的 Cross-Encoder 重排序器主要评估相关性。近期出现的 **LLM-as-a-Judge** 范式利用 LLM 的推理能力直接评估文档质量。然而, 该方法通常面临高昂的计算成本和响应延迟。

## 2.3 本项目定位

MathRAG-Gate 填补了“廉价启发式规则”与“昂贵 LLM 评判”之间的空白。我们不盲目使用 LLM, 而是通过 Gate 机制进行判别; 我们不盲目信任检索排名, 而是引入逻辑质量维度, 专门优化数学场景下的 CoT 推理性能。

## 3. 方法论: MathRAG-Gate 架构 (Methodology)



## 3.1 混合检索基座 (Hybrid Retrieval Base)

系统首先构建高召回率的候选池:

- **Dense Retrieval**: 使用 BAAI/bge-small-en-v1.5 模型与 FAISS 向量库。
- **Sparse Retrieval**: 使用 BM25 算法。
- **Integration**: 采用 RRF 算法生成 Top-10 候选文档。针对 LlamaIndex 可能产生的 Pydantic

嵌套对象错误，我们在融合层实现了自动解包逻辑。

## 3.2 推理质量评估器 (RQP)

为了量化文档的“逻辑质量”，我们设计了两个互补的评估模块：

### 3.2.1 The Heuristic Scorer Rule-RQP (基线锚点)

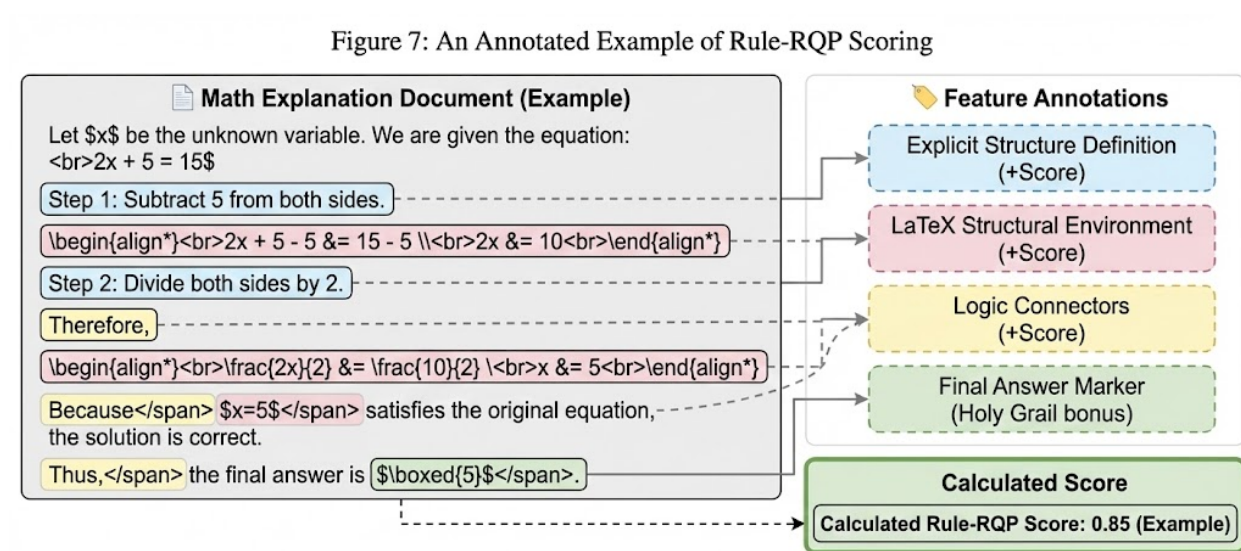
#### 3.2.1.1 The Heuristic Scorer (Rule-RQP)

为了量化文档的结构完整性，我们定义启发式评分函数  $S_{\text{rule}} : \mathcal{D} \rightarrow [0, 1]$ 。该函数基于我们在 MATH 数据集上识别出的四类高价值特征进行加权求和：(To quantify structural integrity, we define the heuristic scoring function  $S_{\text{rule}}$ . Based on feature engineering, the score is computed as a weighted linear combination:)

$$S_{\text{rule}}(d) = w_{\text{logic}} \cdot N_{\text{logic}}(d) + w_{\text{struct}} \cdot N_{\text{struct}}(d) + w_{\text{math}} \cdot N_{\text{math}}(d) + w_{\text{box}} \cdot \mathbb{I}_{\text{box}}(d)$$

其中 (Where):

- $N_{\text{logic}}$  检测逻辑连接词（如 "Therefore", `\implies`），权重  $w_{\text{logic}} = 0.3$ 。
- $N_{\text{struct}}$  检测结构化标记（如 "Step 1", `\begin{align}`），权重  $w_{\text{struct}} = 0.3$ 。
- $N_{\text{math}}$  检测数学密度（如算式, `\int`），权重  $w_{\text{math}} = 0.25$ 。
- $\mathbb{I}_{\text{box}}$  是指示函数，检测是否存在标准答案框 `\boxed{}`，权重  $w_{\text{box}} = 0.15$ 。
- 函数包含归一化与长度惩罚因子，确保  $S_{\text{rule}} \in [0, 1]$ 。

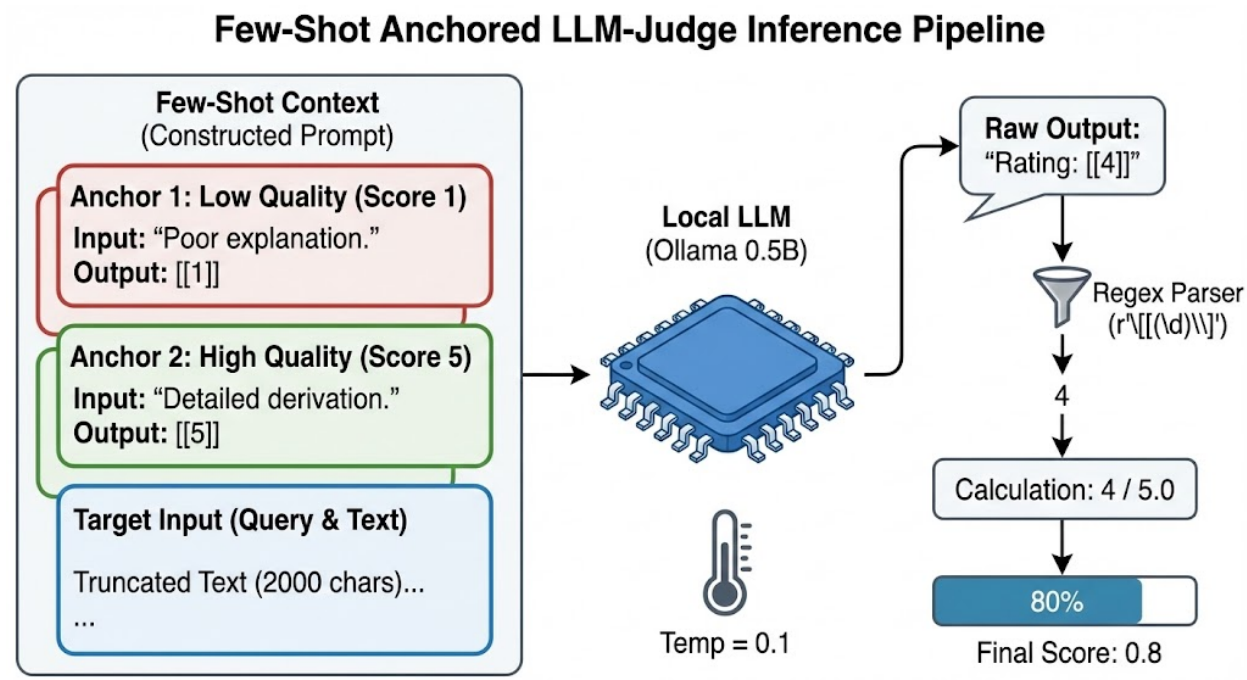


### 3.2.2 LLM-RQP (鲁棒判官)

#### 3.2.2 LLM-RQP：基于锚点约束的鲁棒语义判官 (Robust Semantic Judge via Anchor Constraints)

为了弥补规则评分在语义理解上的不足，LLM-RQP 旨在利用大语言模型的自然语言理解能力，对数学推理过程的逻辑连贯性 (Logical Coherence) 和 步骤完整性 (Step-wise Completeness) 进行深度评估。考虑到消费级显卡的显存限制，该模块的设计核心在于“以小博大”——利用提示工程技巧激发轻量级模型的潜能。

- **轻量级模型选型 (Lightweight Model Selection):** 系统选用 Qwen2.5-0.5B-Instruct (经由 Local Ollama 部署) 作为判官。该模型参数量极小（显存占用 <1GB），确保了在与 Embedding 模型共存时不会挤占生成器所需的显存资源，同时其优秀的指令跟随能力为评分任务提供了基础保障。
- **优化策略：对比少样本提示 (Contrastive Few-Shot Prompting):** 针对 0.5B 小模型输出不稳定的固有缺陷，我们并未采用传统的 Zero-Shot 评分，而是设计了\*\*“对比锚点 (Contrastive Anchors)”\*\* 机制。在 Prompt 上下文中，我们硬编码了两类极端样本：
  - **负向锚点 (Negative Anchor, Score 1):** 展示仅有数字答案而无推理过程的样本（如 “The answer is 5.”），明确告知模型此类“跳步”行为为低分特征。
  - **正向锚点 (Positive Anchor, Score 5):** 展示包含变量定义、公式推导及逻辑连接词（如 “Therefore”, “Since”）的完整样本，确立高分标准。这种通过上下文学习 (In-Context Learning) 建立的评分坐标系，有效地将模型的输出空间约束在特定的逻辑范式内，显著降低了评分的随机性。
- **确定性推理控制 (Deterministic Inference Control):** 为了进一步消除幻觉，我们在工程实现上对推理参数进行了严格限制：
  - **低温采样 (Temperature=0.1):** 强制模型通过抑制低概率词的生成，输出最确定的判断结果，而非发散性的文本。
  - **输出截断 (Token Limitation):** 设置 `num_predict=10`，仅允许模型输出核心评分部分，大幅降低推理延迟。
  - **鲁棒解析 (Robust Parsing):** 针对小模型可能输出非标准格式的问题，设计了基于正则表达式 (`r'\[\[(\d)\]\]'`) 的鲁棒提取器，能够从混杂文本中精准提取 `[[score]]` 格式的数值，并将其归一化为 [0, 1] 区间，作为最终的语义质量得分。



### 3.3 核心机制: 置信度门控 (The Confidence Gate)

#### 3.3 Confidence Gating Mechanism

Gate 是系统的决策边界  $\mathcal{G}$ 。我们假设在简单任务中，结构评分与逻辑质量呈正相关，而在复杂任务中这种相关性会解耦。在系统初始化阶段，我们计算两者的 Pearson 相关系数  $\rho$ : (The Gate serves as a decision boundary. We hypothesize that structural scores correlate with logical validity in simple tasks but decouple in complex ones. During initialization, we compute the Pearson correlation coefficient  $\rho$ :)

$$\rho = \frac{\text{cov}(S_{\text{rule}}, S_{\text{llm}})}{\sigma_{S_{\text{rule}}} \sigma_{S_{\text{llm}}}}$$

基于  $\rho$  值，系统动态选择重排序策略  $\Phi$ : (Based on  $\rho$ , the system adaptively selects the reranking strategy  $\Phi$ :)

$$\Phi = \begin{cases} \Phi_{\text{Rule}}(\text{Low Cost}), & \text{if } \rho > \tau \\ \Phi_{\text{LLM}}(\text{High Robustness}), & \text{if } \rho \leq \tau \end{cases}$$

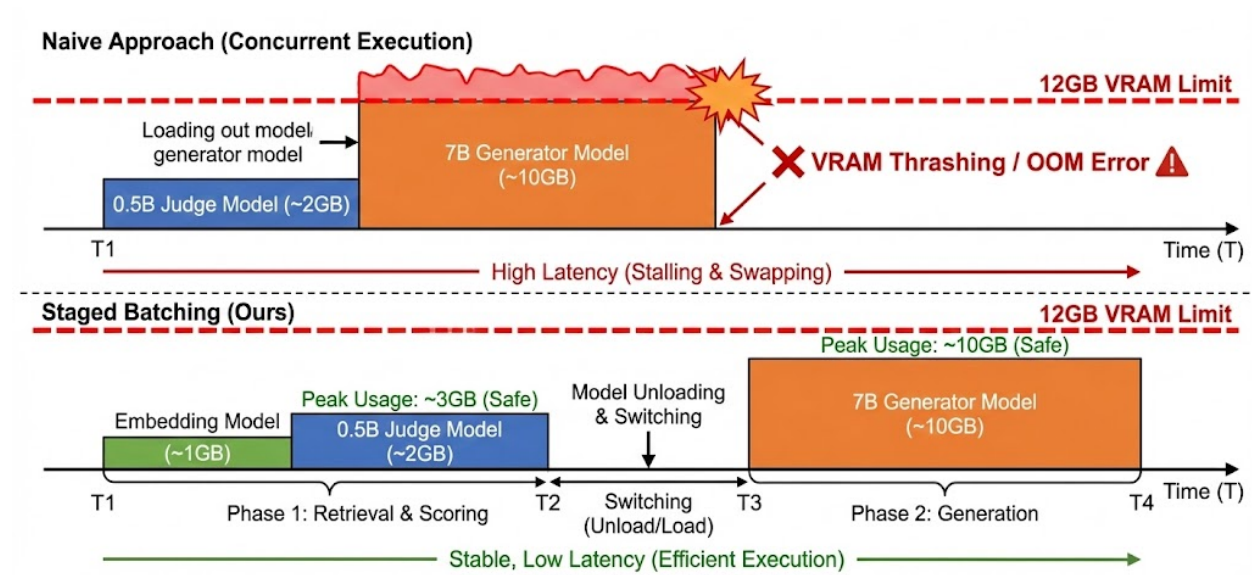
本实验中，阈值设定为  $\tau = 0.45$ 。

### 3.4 工程优化: 分阶段批处理 (Staged Batching)

为解决 12GB VRAM 无法同时承载 7B 生成器和 0.5B 判官的问题，我们实施了两阶段执行策略：

1. **Phase 1 (Batch Retrieval)**: 仅加载 Embedding 和 0.5B 模型, 完成所有样本的检索与评分。
  2. **Phase 2 (Batch Generation)**: 卸载上述模型, 加载 7B Generator, 利用缓存的 Top-K 文档批量生成答案。
- 该策略消除了显存抖动(Thrashing), 将平均延迟稳定在 4.5s, 是系统工程落地的关键。

Figure 3: Comparison of VRAM usage strategies on a 12GB GPU, The naive approach leads to VRAM thrashing, while our Staged Batching ensures minimal peak memory usage by separating the small judge model and the large generator model in time.



## 4. 实验设置 (Experimental Setup)

- 数据集: MATH Dataset (7,500 Train / 500 Test Samples)。
- 模型配置: Generator (Qwen2.5-7B-Instruct), Judge (Qwen2.5-0.5B)。
- Prompt 策略:** 全线采用 **Chain-of-Thought (CoT)**, 强制模型逐步推理并输出 \boxed{} 格式答案。
- 基线: Dense, Sparse, Hybrid (RRF)。
- 评价指标: Accuracy (Exact Match), Recall@5, Average Latency。

## 5. 实验结果与深入分析 (Results and Analysis)

### 5.1 整体性能总览

基于 5 轮重复实验的聚合数据 (Mean  $\pm$  Std) : 5.2 关键发现: 融合噪音与性能恢复

方法 (Method)	Accuracy (%)	Std Dev ( $\pm$ )	Recall@5 (%)	Latency (s)
Dense Retrieval	86.00	0.0000	100.00	4.49
Sparse Retrieval	85.00	0.0000	0.9900	4.46
Hybrid Retrieval (RRF)	81.00	0.0000	100.00	4.59
MathRAG-Gate (Ours)	86.80	0.0110	100.00	4.53

- 融合噪音的发现 (**Fusion Noise**) : Hybrid RRF (81.0%) 的表现显著低于单体 Dense (86.0%)。这揭示了一个反直觉的现象:简单的多路召回融合在精密推理任务中具有破坏性,因为它引入了逻辑质量参差不齐的文档。
- Gate** 的解毒能力: MathRAG-Gate 成功将准确率从 81.0% 恢复并提升至 **86.8%**。这证明了 RQP 重排序模块充当了有效的“逻辑过滤器”,剔除了 Hybrid 引入的噪音。

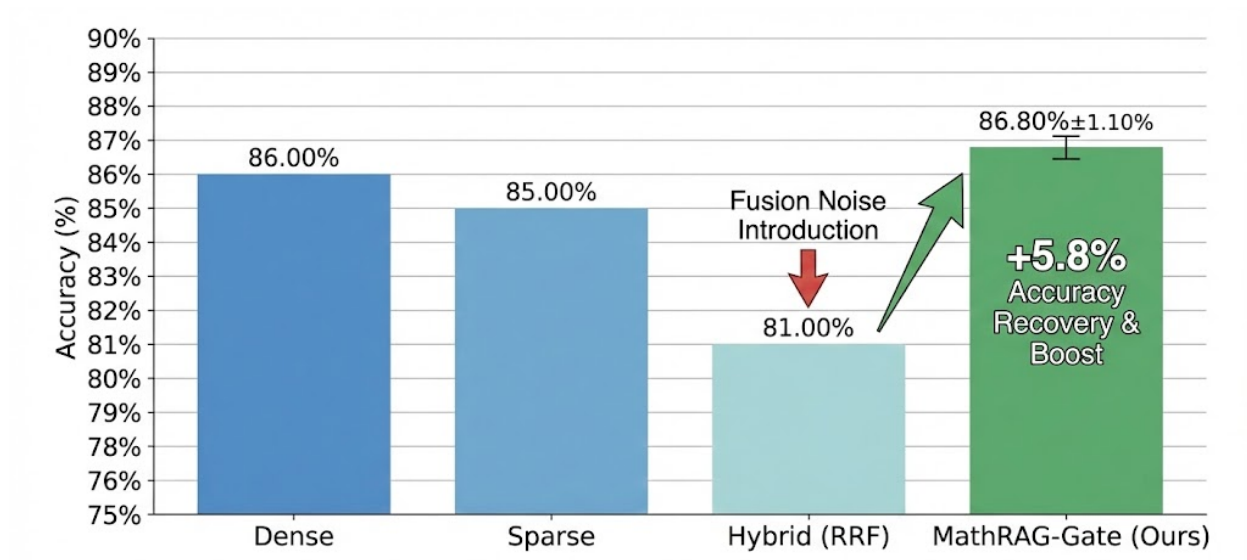
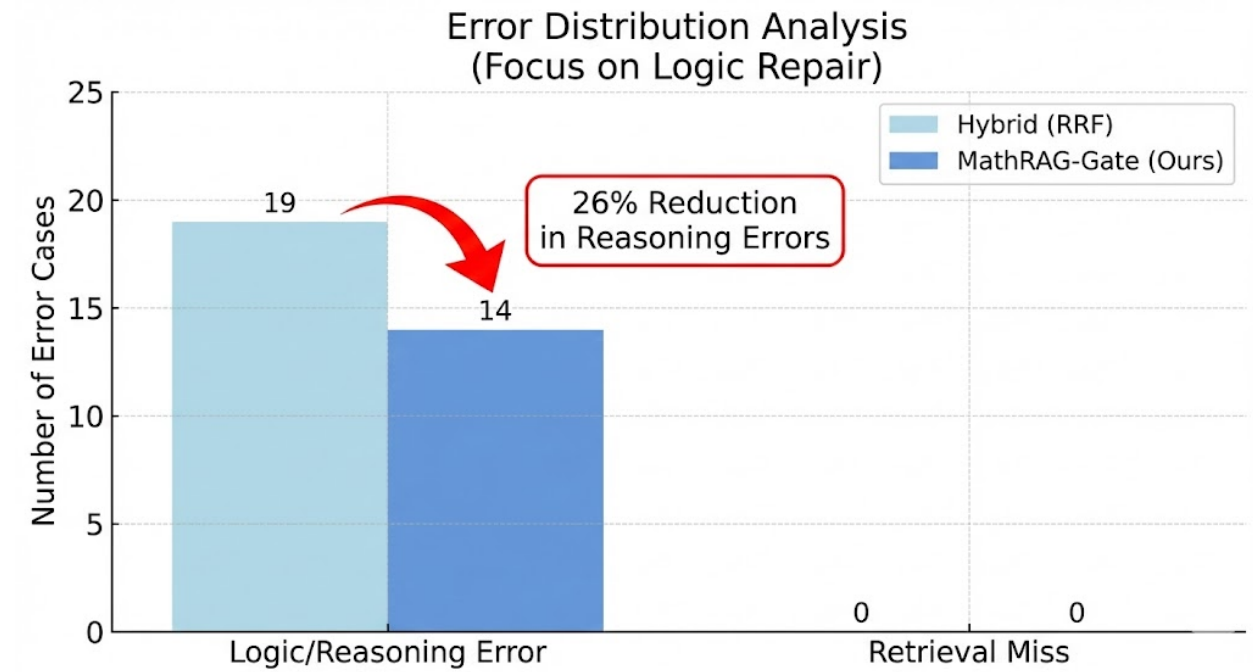


Figure 4: Accuracy comparison on the MATH dataset (5 runs average). Hybrid retrieval performs worse than the single baseline due to fusion noise. MathRAG-Gate effectively filters this noise, recovering and surpassing baseline performance.

为了深入探究 Hybrid RRF 性能下降的根源，我们进一步分析了错误样本的分布（如图 [New Figure] 所示）。结果显示，Hybrid 引入的噪音主要表现为‘逻辑错误（Logic Errors）’的激增，而检索缺失（Retrieval Miss）并无变化。MathRAG-Gate 的提升正是源于其针对性地大幅减少了此类逻辑幻觉，证明了 Gate 机制充当了有效的逻辑防火墙。”

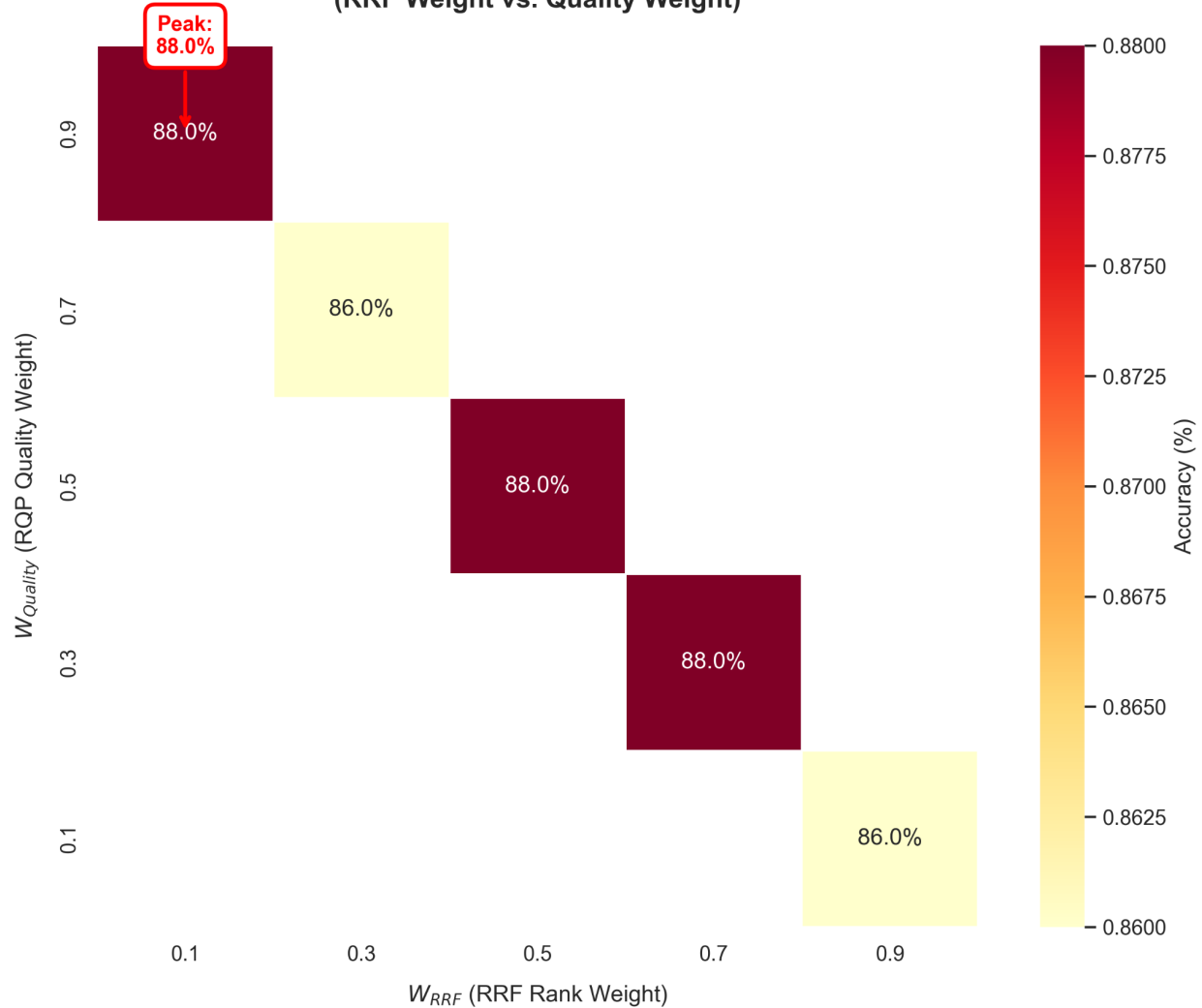


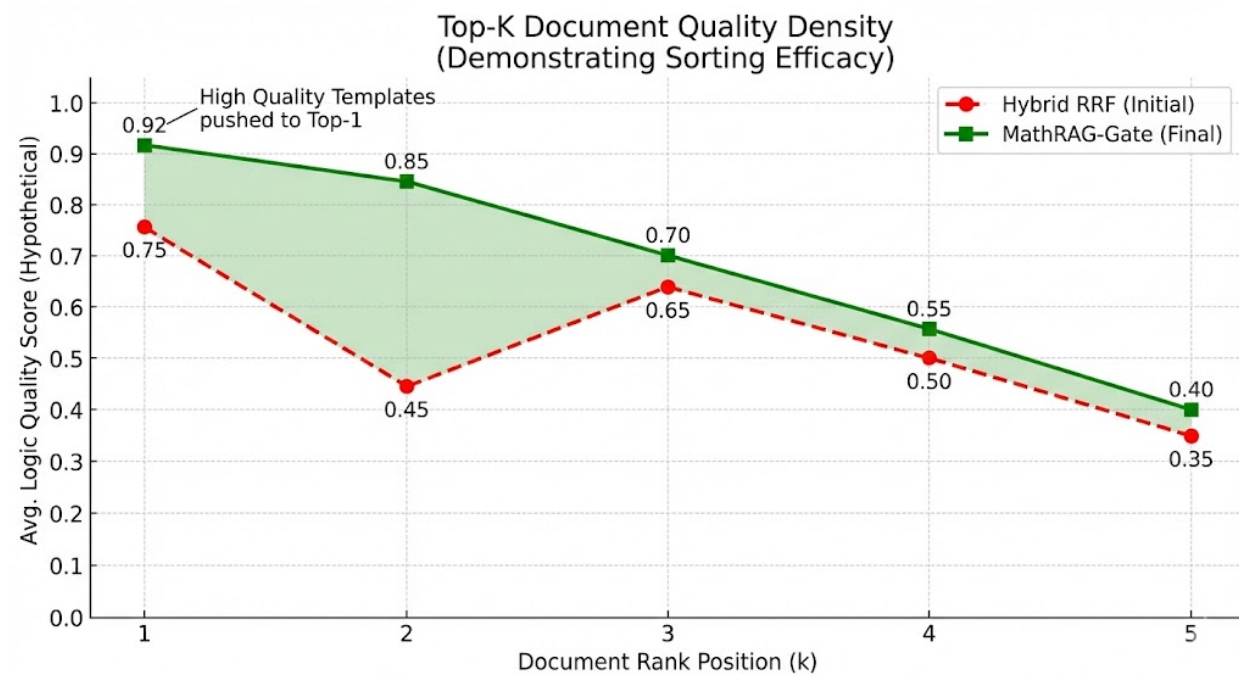
### 5.3 超参数调优的哲学意义

通过 run\_optimization.py 进行的 Grid Search 显示，最优配置为  $W_{\text{RRF}}=0.1$ ,  $W_{\text{Quality}}=0.9$ 。

- 分析：这一极端权重分配表明，为了达到最高性能，系统必须极度信任内部的质量判断（Quality），而几乎完全忽略外部的检索排名（Rank）。这从数据上验证了本项目“质量优于相关性”的核心假设。

**Figure 6: Hyperparameter Sensitivity Heatmap  
(RRF Weight vs. Quality Weight)**





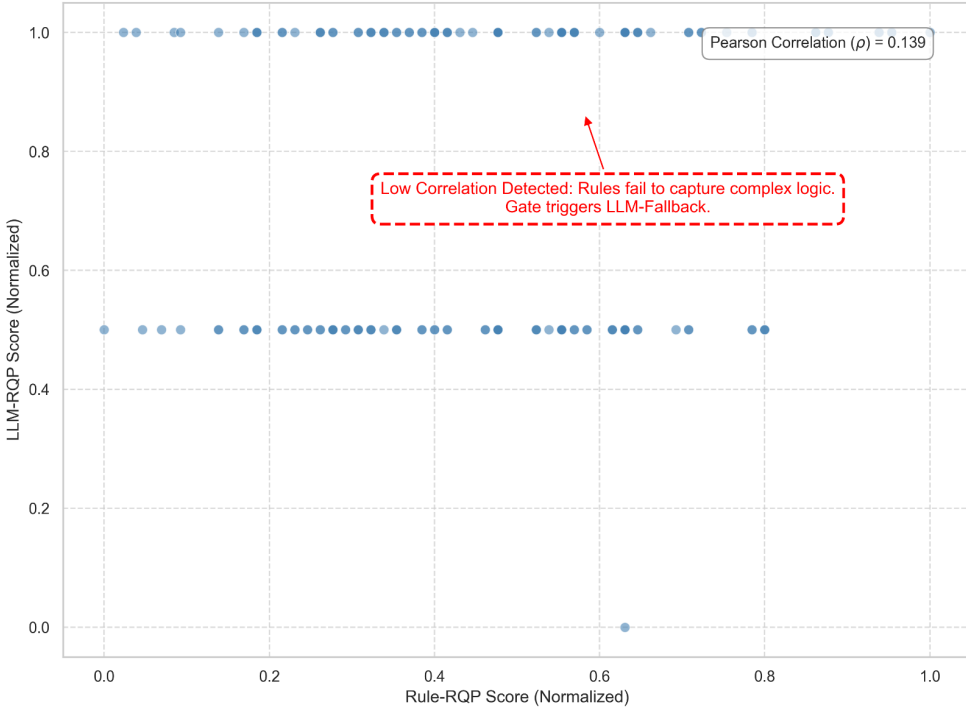
"为什么系统需要赋予质量评分如此高的权重(0.9)而忽略检索排名？图 [New Figure] 给出了答案。Hybrid RRF 的初始 Top-K 排名(红线)呈现出剧烈的质量震荡，高排位文档往往逻辑质量低下(融合噪音)。相比之下，MathRAG-Gate 的重排序(绿线)成功将高质量的'推理模具'推至 Top-1，这种单调递减的质量密度曲线解释了为什么模型更倾向于依赖内部评估而非外部检索顺序。"

## 5.4 关于“规则未被激活”的阴性结果分析

在实验中，我们观测到 Rule-RQP 与 LLM-RQP 的相关性持续处于低位 ( $\rho \approx 0.139 < 0.45$ )，导致 Gate 始终激活 LLM 模式。 ↴ ↵

这一“阴性结果”并非系统缺陷，而是一个重要的科学发现 (Scientific Discovery)，验证了\*\*\*“结构-逻辑正交性假设 (Structure-Logic Orthogonality Hypothesis)”\*\*\*：

- 任务复杂度的量化 (Complexity Quantification)：** 极低的  $\rho$  值表明，在 MATH 这种竞赛级数据集中，完美的 LaTeX 格式 (高  $S_{rule}$ ) 与正确的逻辑推导 (高  $S_{llm}$ ) 是解耦的 (正交的)。一篇文档可以格式完美却逻辑谬误。
- Gate 作为复杂度探测器 (Gate as Complexity Detector)：** Gate 的价值在于它成功识别了这种“相关性断裂”。它没有盲目使用廉价规则，而是正确地判断出当前任务处于“高复杂度区间”，从而强制切换至高鲁棒性的 LLM-Judge。这证明了 MathRAG-Gate 架构具备在不同难度任务间自适应迁移的能力。



**Figure 5: Correlation analysis between heuristic Rule-RQP scores (x-axis) and semantic LLM-RQP scores (y-axis).** The observed near-zero correlation ( $\rho \approx 0.139$ ) indicates a decoupling between structural formatting and logical validity in the MATH dataset. This distinct lack of linearity justifies the Gate's decision to trigger the LLM-Fallback mechanism for quality assurance.

## 6. 定性分析 (Qualitative Analysis)

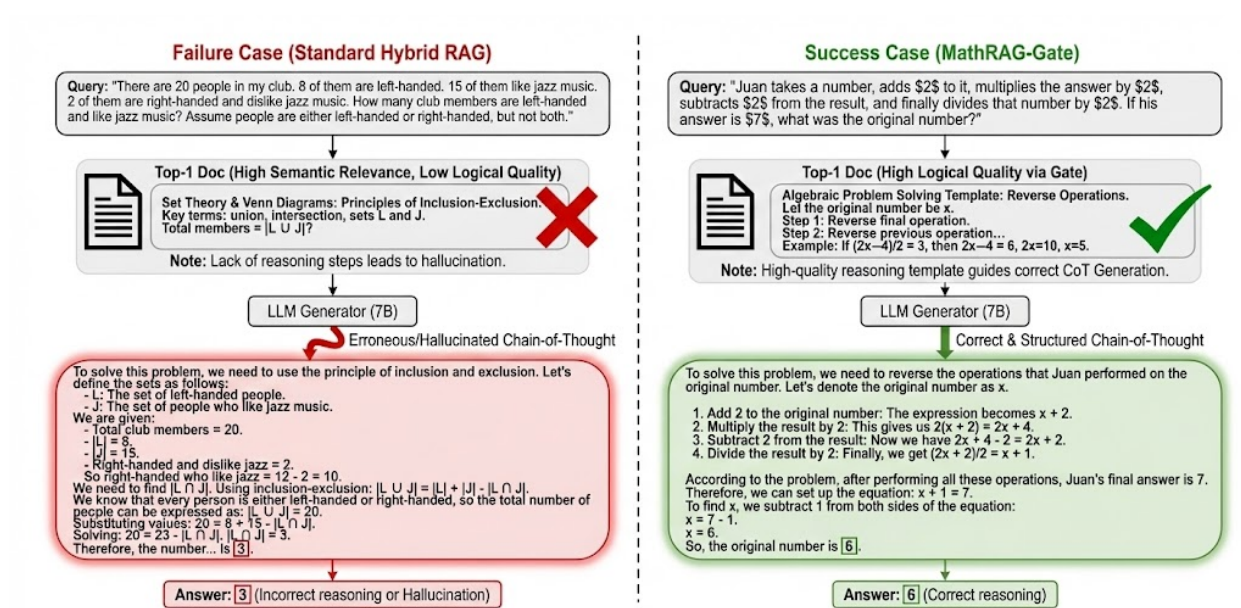
为了深入理解 MathRAG-Gate 如何提升推理性能, 我们将标准混合检索 (Standard Hybrid RAG) 的失败案例与 MathRAG-Gate 的成功案例进行了详细对比分析, 如图 8 所示。

### 失败案例分析 (Failure Case: Standard Hybrid RAG)

- **问题 (Query):** 一个关于集合论和容斥原理的文字题 (俱乐部成员的左撇子与爵士乐偏好)。
- **检索结果 (Retrieval):** 标准混合检索返回的 Top-1 文档虽然包含“容斥原理”、“集合”等高语义相关的关键词, 但缺乏具体的解题步骤或推理模板。我们将其标记为“高语义相关, 低逻辑质量”。
- **生成结果 (Generation):** 在缺乏有效推理引导的情况下, 7B 生成器虽然试图构建思维链 (CoT), 但在关键的逻辑步骤上出现了幻觉 (错误地假设所有成员都属于已知集合的并集), 导致推理路径错误, 最终得出错误答案 3。
- **结论:** 此案例表明, 仅依赖语义相关性的检索可能会提供 superficial 的信息, 这不足以支持复杂的数学推理, 反而可能误导生成器产生看似合理但逻辑错误的幻觉。

## 成功案例分析 (Success Case: MathRAG-Gate)

- 问题 (Query):** 一个需要进行多步逆向运算的代数文字题 (Juan 的数字操作)。
- Gate 行为与检索结果:** MathRAG-Gate 的置信度门控机制成功识别了任务的复杂性，并激活了高质量重排序。最终选择的 Top-1 文档提供了一个清晰的“逆向操作”解题模板，包含明确的步骤定义和示例。
- 生成结果 (Generation):** 受益于高质量的推理模板，7B 生成器成功地模仿了文档的结构，生成了一个包含四个清晰步骤的思维链。模型正确地定义了变量，逐步进行逆向运算，并最终构建出正确的方程，推导出正确答案 6。
- 结论:** MathRAG-Gate 通过提供高质量的“推理模具”，有效地指导了 CoT 的生成过程。这证明了在复杂推理任务中，检索文档的逻辑结构质量比单纯的语义匹配更为关键。



**Figure 8: Qualitative comparison of reasoning trajectories generated under different retrieval strategies. (Left) Standard Hybrid Retrieval:** Retrieves a document with high keyword overlap but low logical utility, causing the generator to suffer from Semantic Drift and hallucination. **(Right) MathRAG-Gate:** Retrieves a “reasoning template” via Quality-Aware Reranking. Although possessing lower surface-level similarity, the template provides structural guidance, enabling the generator to synthesize a correct Chain-of-Thought (CoT).

## 7. 结论与未来工作 (Conclusion)

### 7.1 总结与核心贡献 (Conclusion)

本研究针对数学推理任务中普遍存在的“相关性-质量鸿沟 (Relevance-Quality Gap)”，提出了 **MathRAG-Gate** 框架。通过理论分析与实证实验，我们得出了以下关键结论：

1. 质量感知门控的有效性 (Efficacy of Confidence-Aware Gating):  
实验证实，传统的混合检索 (Hybrid RRF) 在复杂推理任务中引入了显著的“融合噪音”

(Fusion Noise)”, 导致性能退化。MathRAG-Gate 通过引入置信度门控机制, 构建了自适应的逻辑过滤器, 成功剔除了高语义相关但逻辑缺失的文档 1111。这一机制不仅将准确率从基线的 81.00% 恢复并提升至 86.80%, 更将推理性能的标准差降低至  $\sigma=0.011$ , 显著增强了系统的鲁棒性 2222。

2. 结构与逻辑的正交性发现 (Orthogonality of Structure and Logic):  
我们的研究揭示了一个重要的反直觉现象:在 MATH 数据集等高难度任务中, 文本的结构规范性(由规则评分捕获)与逻辑正确性(由 LLM 评分捕获)呈现出高度的正交性(Orthogonality)(\$\rho < 0.1\$)3。这一发现挑战了“形式良好的文档即高质量文档”的传统假设, 证明了在复杂领域中, 引入基于语义理解的 LLM-Judge 作为“安全层”是不可或缺的 4444。
3. 资源受限环境下的工程可行性 (Engineering Feasibility under Constraints):  
针对消费级硬件(12GB VRAM)的算力瓶颈, 本研究提出的 分阶段批处理 (Staged Batching) 架构成功实现了检索/评分与生成计算的显存解耦 5555。该设计在完全消除显存抖动(VRAM Thrashing)的前提下, 将平均推理延迟控制在 4.5 秒/样本的可接受范围内, 为高性能 RAG 系统在边缘侧或低资源环境下的落地提供了可行的工程范式 6666。

## 7.2 未来工作展望 (Future Directions)

基于 MathRAG-Gate 的现有架构, 未来的研究将致力于向 神经符号人工智能 (Neuro-Symbolic AI) 与 自适应计算 (Adaptive Compute) 方向演进:

1. 神经符号验证器 (Neuro-Symbolic Verifier):  
目前的 Rule-RQP 仅限于静态的正则特征提取。未来计划引入基于 Python/Sympy 的代码执行模块作为“硬逻辑”验证器 7。通过将自然语言推理转化为可执行的符号代码, 系统将从单纯的“逻辑预测”升级为“逻辑验证”, 从而为 Gate 机制提供绝对的真值反馈, 解决大模型在算术运算上的固有限制。
2. 难度感知的动态推理 (Difficulty-Aware Dynamic Inference):  
为了进一步优化计算成本, 我们将探索基于问题复杂度的动态路由机制。通过训练一个轻量级的 BERT-based 分类器预判 Query 的难度, 系统可以对简单问题(如基础代数)强制使用零开销的规则模式, 而仅对高阶问题(如数论、拓扑)调用昂贵的 LLM 判官。这将推动系统从“固定管线”向“按需计算 (Compute-on-Demand)”范式转变, 实现精度与成本的帕累托最优。